

Топологическая классификация функций и 16-я проблема Гильберта

1868 А. Кэли: топология топографических карт = ?

Теория Морса 1965: Морс, Уитни, Понтрягин → безнадежно?

Топологическая классификация функций Морса

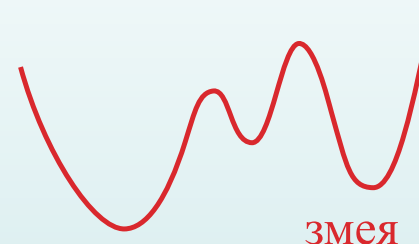
$$f: S^1 \rightarrow \mathbb{R}$$

Теория змей (Арнольд, 1992)

$2n$ критических точек $\Rightarrow \varphi(n)$ классов

$2n$	2	4	6	8	10
φ	1	2	16	272	7936

$$\operatorname{tg} t = \frac{1}{1!} t + \frac{2}{3!} t^3 + \frac{16}{5!} t^5 + \frac{272}{7!} t^7 + \dots$$



$$f: S^2 \rightarrow \mathbb{R}$$

Арнольд, 2005

T седел $2T + 2$ крит. точек
 $\varphi(T)$ классов функций

T	1	2	3	4	5 (Nicolaescu, 2006)
φ	2	19	428	17746	1178792

Асимптотики чисел классов функций с T седлами:

1) Арнольд, **2005** : Теорема:

$$aT^T < \varphi(T) < bT^{2T};$$

гипотеза $A: \varphi \asymp T^{2T}$

2) Теорема

Николаеску, **2006**: гипотеза **A**верна. В доказательстве:

$tg \mapsto$ эллиптический интеграл \uparrow

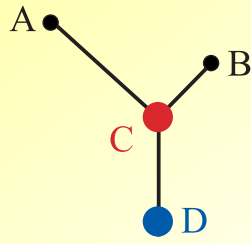
[Доказательство Гивенталья **mirror symmetry** квантовой теории поля]

(Гипотезы о случайных графах) $\Rightarrow (\varphi \asymp T^{2T})$

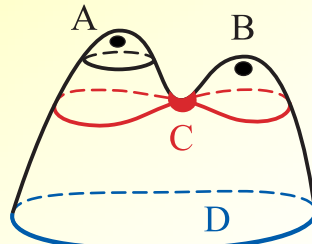
Гипотеза: многочленами (нужной степени) Морса реализуется малая доля классов функций с T седлами

[Степень $2k$ соответствует $T = 2k(k - 1)$]

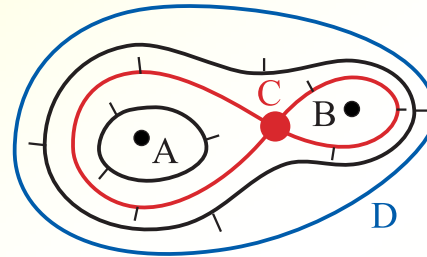
гора Эльбрус



граф Γ

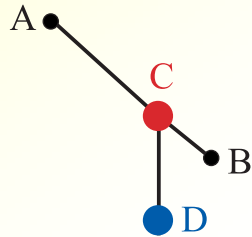


график

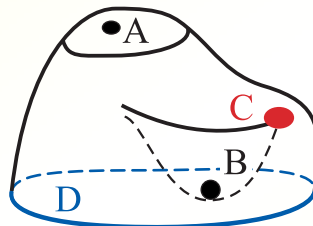


карта

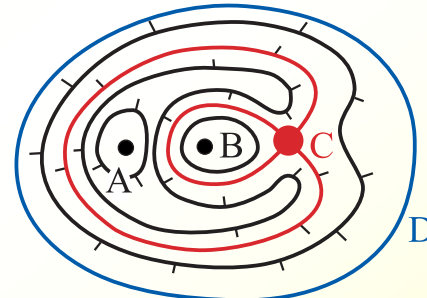
гора Везувий



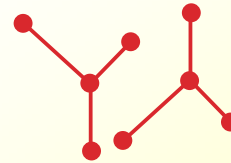
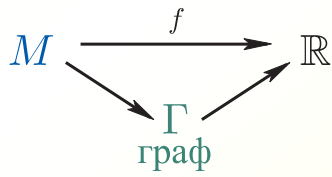
граф Γ



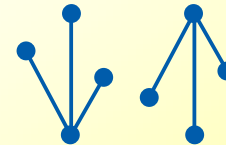
график



карта


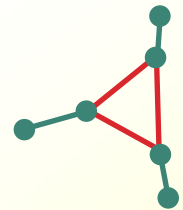


ВОЗМОЖНО



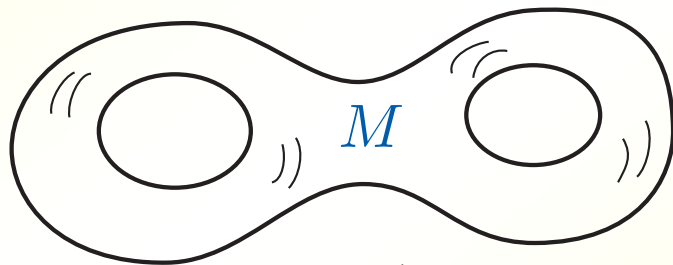
НЕВОЗМОЖНО

16 проблема Гильберта – о кривых уровня многочленов, но надо бы классифицировать многочлены! (и тригонометрические многочлены).

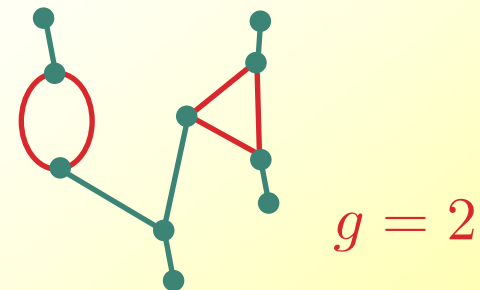
$\left(\begin{array}{l} M = S^n \\ n \geq 2 \end{array} \right) \Rightarrow \left(\Gamma = \text{дерево} \right)$

 $\left(\begin{array}{l} M = T^2 \\ \text{тор} \end{array} \right) \Rightarrow \left(\Gamma \text{ имеет } 1 \text{ цикл} \right)$


сфера

$\left(M = \text{поверхность рода } g \right) \Rightarrow \left(\Gamma \text{ имеет } g \text{ независимых циклов} \right)$



$g = 2$ $\left(\begin{array}{l} \text{сфера} \\ \text{с } g \text{ ручками} \end{array} \right)$

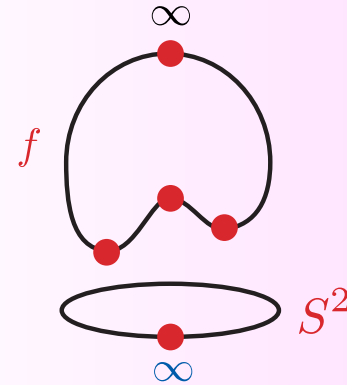
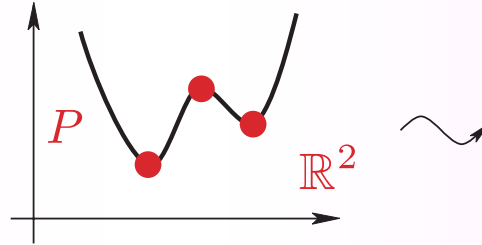


Топологическая классификация многочленов

$p: \mathbb{R}^2 \rightarrow \mathbb{R}$ многочлен степени n

$$\mathbb{R}^2 \amalg \infty = S^2$$

$f: S^2 \rightarrow \mathbb{R}$



p имеет $\leq (n-1)^2$ критических точек.

f имеет $\leq (n-1)^2 + 1$ критическую точку.

($n = 2k$, на бесконечности максимум, T седел)



$$(4k^2 - 4k + 2 = 2T + 2, \quad T = 2k(k-1))$$

$$(n = 4, \quad k = 2) \Rightarrow (T = 4)$$

Число функций Морса с 4 седлами: $\varphi(4) = 17746$

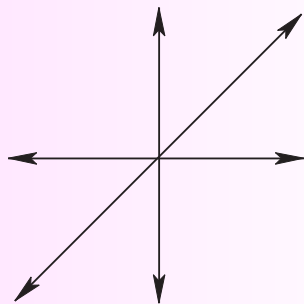
Число функций, реализуемых многочленами, ~ 1000 .

Тригонометрические многочлены

Пример. $f: T^2 \rightarrow \mathbb{R}$

$f \in \tilde{A}_2$, степени 1 (\tilde{A}_2 – аффинная группа Кокстера)

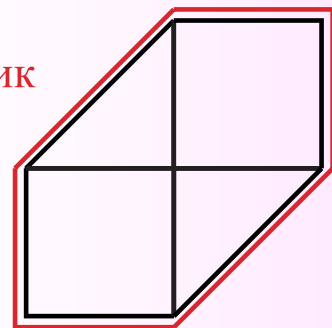
$$f = a \cos x + b \sin x + \cos y + d \sin y + p \cos(x + y) + q \sin(x + y)$$



T^*T^2

спектр (волновые векторы)

многоугольник
Ньютона



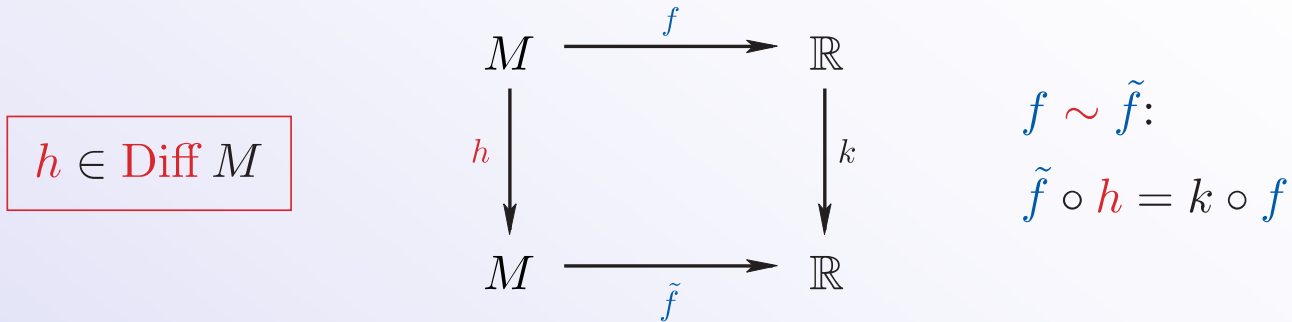
T^*T^2

площадь = 3

Число критических точек тригонометрического многочлена $f: T^n \rightarrow \mathbb{R}$ есть $n!V$, где V – объем многогранника Ньютона (в T^*T^n).

Пример. $(f \in \tilde{A}_2) \Rightarrow$ (критических точек $\leq (2! \cdot 3 = 6)$).
deg $f = 1$

Diff – классификация функций $f: M \rightarrow \mathbb{R}$



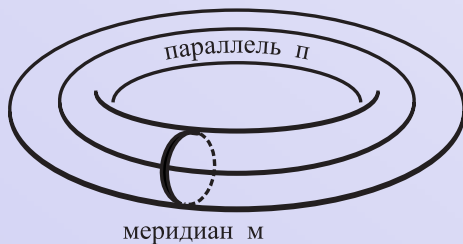
k сохраняет ориентацию оси значений

(либо $k(y) \equiv y$, а критические значения фиксированы)

Diff₀ – классификация функций $f: M \rightarrow \mathbb{R}$

$h \in (\text{Diff}_0 M = \text{компонента id в Diff})$

Пример: $M = T^2$



$$h(\Pi) = \Pi$$

$$h(M) = M$$

Различие обеих эквивалентностей

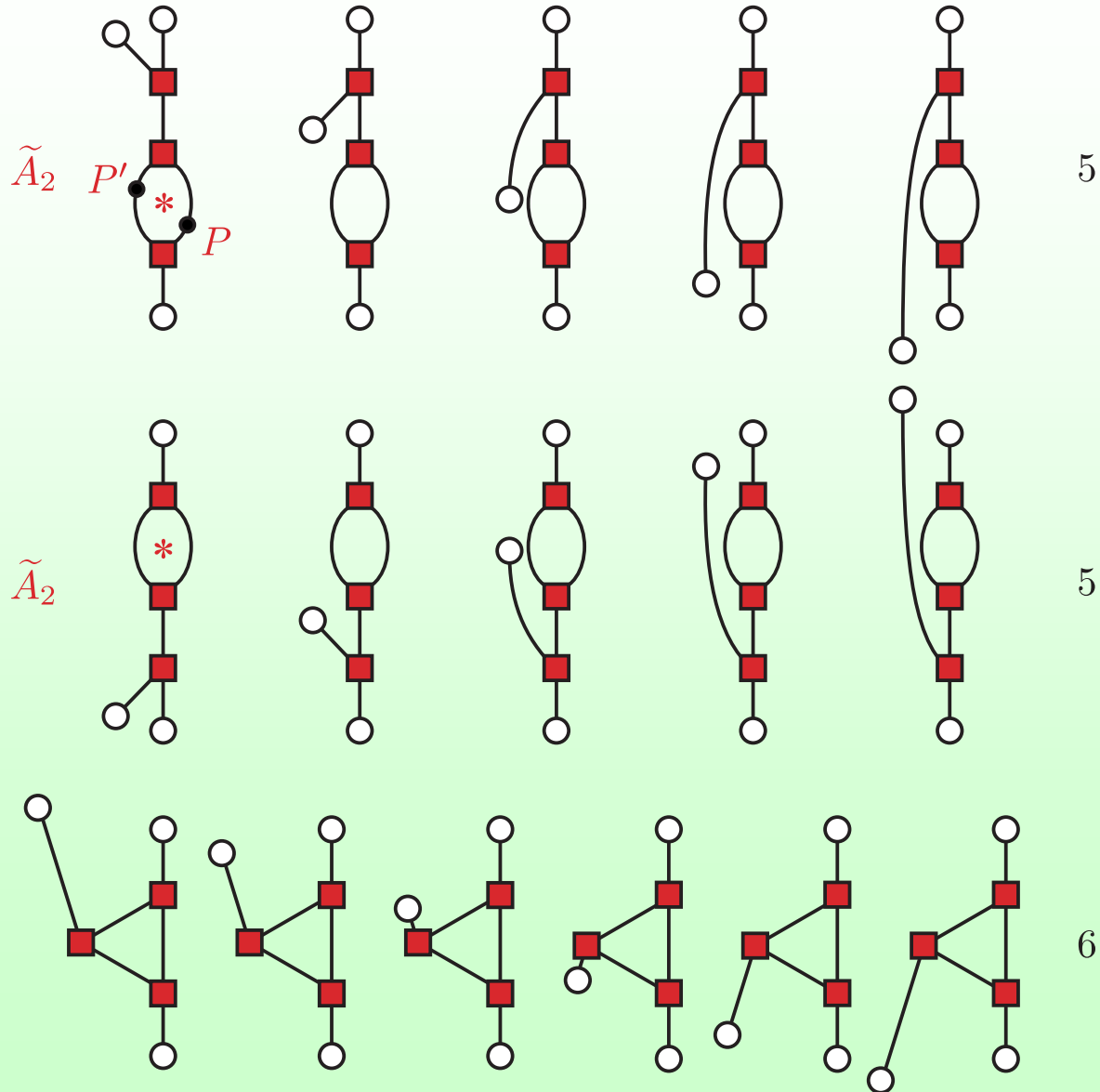
Diff – эквивалентны
Diff₀ не эквивалентны

Числа классов функций на торе:

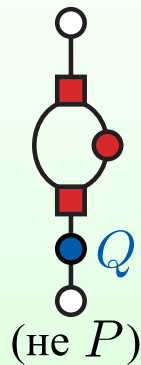
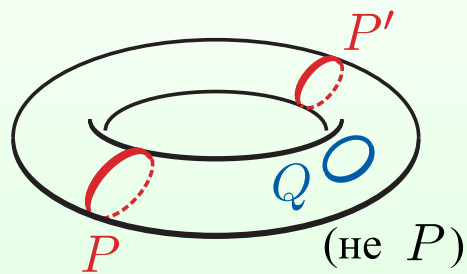
<div style="display: flex; justify-content: space-between;"> функции классификация </div>	Diff	Diff ₀
C^∞ $\tilde{A}_2, \text{ deg} = 1$	<p style="text-align: center;">16</p> <p style="text-align: center;">2</p>	<p style="text-align: center;">∞</p> <p style="text-align: center;">6</p>

16 Diff-классов различаются графами:

Графы 16 функций $f : T^2 \rightarrow \mathbb{R}$ с тремя седлами \blacksquare :

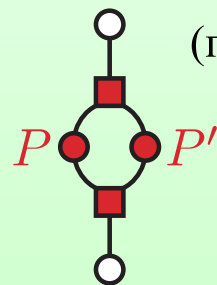


Классификация функций одного Diff -класса по Diff_0 -типам:



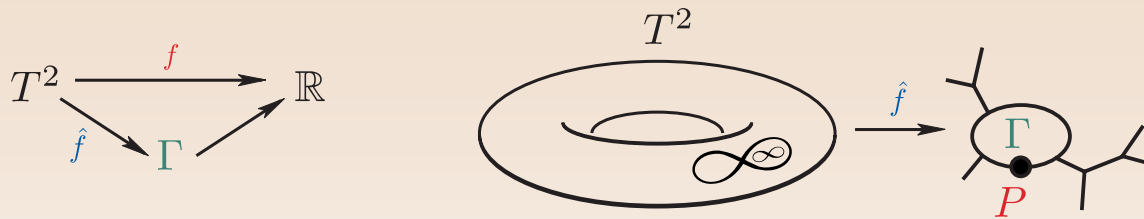
(точка P не делит граф)

\leftrightarrow (кривая P не гомологична 0 на торе)



(пара точек (P, P') делит граф)

\leftrightarrow (кривые P и P' гомологичны на торе)



Гомотопическая сложность отображения \hat{f} оценивается диаграммой Ньютона тригонометрического многочлена f

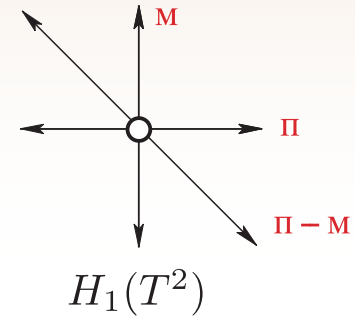
Пример: $f \in \tilde{A}_2$ (класс Кокстера), $\deg = 1$

Теорема (Арнольд, 2006):

цикл P с точностью до знака,

либо параллель, либо меридиан, либо их разность

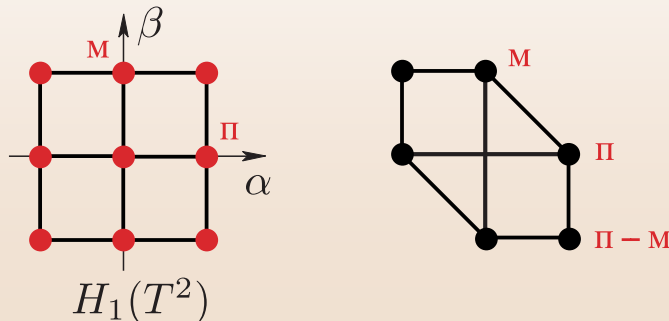
(6 случаев Diff_0 -классификации многочленов \tilde{A}_2 степени 1)



Доказательство. Эллиптическая кривая $\{f(x, g) = \text{const}\}$ на T^2 пересекает прямые $x = \text{const}$ и $y = \text{const}$ не более чем в двух точках.

\Rightarrow цикл P есть α параллель + β меридиан, $|\alpha| \geq 1, \beta \geq 1$

$\alpha = \beta = 1$ невозможно, так как симметрии группы A_2 переводят $(1, 1)$ в $(-2, 1)$, $|-2| > 1$.



остается 6 возможностей

$\pm(1, 0), \pm(0, 1), \pm(1, -1)$

\Rightarrow 6 классов $\pm M, \pm \Pi, \pm \Pi - M$.

Алгебраические геометры $\Rightarrow \emptyset$

Компьютерный вклад в вещественную и симплектическую алгебраическую геометрию: появился в 2006 г.

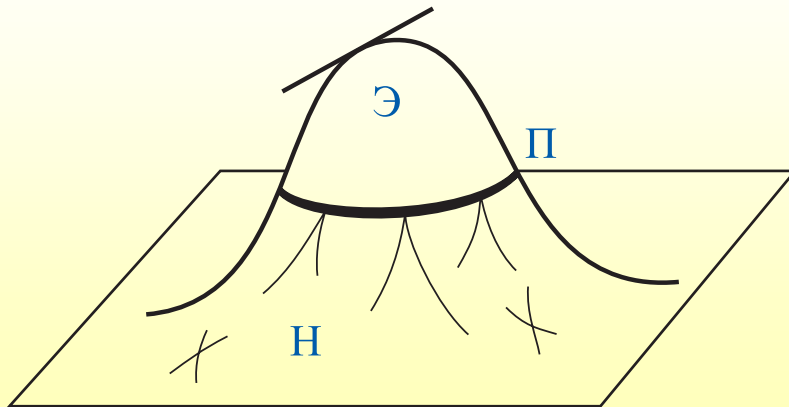
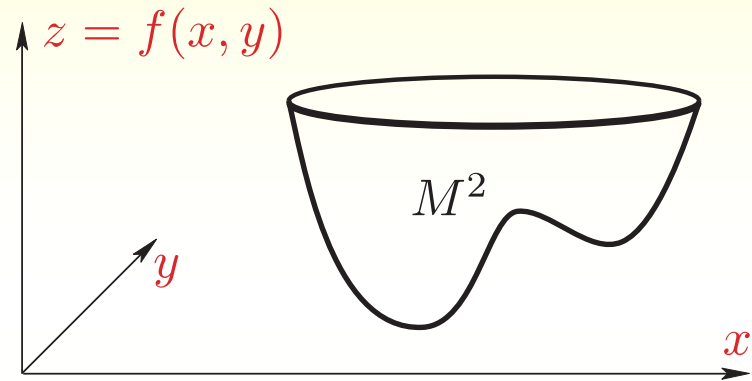
$f: \mathbb{R}^2 \rightarrow \mathbb{R}$ многочлен степени n

$M^2 \subset \mathbb{R}^3$ – его график

Э – эллиптические точки
поверхности M
(гауссова кривизна $K > 0$)

Н – гиперболические точки ($K < 0$)

П – параболическая кривая ($K = 0$)



Задача.

Каково наибольшее число $b(n)$,
связных компонент
параболической кривой П
(в $\mathbb{R}P^2$) при $\deg f = n$?

Уравнение параболической кривой Π : гессиан = 0

$$\det \begin{vmatrix} \frac{\partial^2 f}{\partial x^2} & \frac{\partial^2 f}{\partial x \partial y} \\ \frac{\partial^2 f}{\partial y \partial x} & \frac{\partial^2 f}{\partial y^2} \end{vmatrix} = 0.$$

Теорема (А. Ортиц Родригес, 2005)

$$un^2 < b(n) < vn^2 \quad (v \approx 2u)$$

$$3 \leq b(4) \leq 4$$

Задача (О.Р.)

Бывает ли при $\deg f = 4$ четыре параболические кривые?
Равно ли $b(4)$ четырем?

За год непрерывной работы компьютера (2006) в Мехико А. Ортиц-Родригес рассмотрела 50 миллионов многочленов f степени $4 = \deg f$.

На графиках трех из них оказалось по четыре параболические кривые.

Тем самым доказана

Теорема. В $b(4) = 4$ Гипотеза ?? $b(n) \sim wn^2$??

$M^2 \subset \mathbb{R}P^3$ – гладкая алгебраическая поверхность степени n

$B(n)$ – число ее параболических кривых $\Pi \left(\max_{\deg M=n} \right)$

Теорема Ортиц-Родригес, 2005:

$$Un^3 < B(n) < Vn^3, \quad (V/U \approx 10)$$

Имеет ли $B(n)$ асимптотику Wn^3 ? $W = ?$

\mathbb{R} (вещественная) алгебраическая геометрия:

Плюккер

→

Сальмон

→

?

комплексные
кривые

комплексные
поверхности

вещественные
поверхности

для кривых:

Характеристики:

{ род
степень
число самопересечений
число точек возврата

→

для поверхностей:

{ 24 числа
для
поверхности

→ ?

{ то же для
проективно
двойственной
кривой

→

{ 24 числа
для двойственной
поверхности

→ ?

Ф. Клейн перенес
теорию Плюккера
на \mathbb{R} -кривые,
но теория
Сальмона на
 \mathbb{R} -поверхности
пока не перенесена

Их связывают

Формулы Плюккера

→

47 формул Сальмона

→ ?